# ПРОКОПЕНКО ДЕНИС АЛЕКСЕЕВИЧ ИССЛЕДОВАНИЕ ВЛИЯНИЯ ТЕКСТУРЫ И ФАЗОВОГО СОСТАВА НА АНИЗОТРОПИЮ МЕХАНИЧЕСКИХ СВОЙСТВ СПЛАВОВ СИСТЕМЫ AL-CU-LI

Специальность

2.6.1. Металловедение и термическая обработка металлов и сплавов (технические науки)

Автореферат диссертации на соискание учёной степени кандидата технических наук Работа выполнена на кафедре 1101 «Технологии и системы автоматизированного проектирования металлургических процессов» федерального государственного бюджетного образовательного учреждении высшего образования «Московский авиационный институт (национальный исследовательский университет)».

Научный руководитель: доктор технических наук, профессор

Бецофен Сергей Яковлевич

Официальные оппоненты: Белов Николай Александрович,

д.т.н., профессор, ФГАОУ ВО «Национальный исследовательский университет «МИСИС»,

главный научный сотрудник.

Медведев Павел Николаевич,

к.ф-м.н., НИЦ «Курчатовский институт» -

ФГУП ВИАМ, начальник сектора.

Ведущая организация: ФГАОУ ВО «Самарский национальный

исследовательский университет имени

академика С.П. Королева»

Защита диссертации состоится «11» декабря 2025 г. в 14 часов 00 минут на заседании диссертационного совета 24.2.327.04 (Д 212.125.15) в ФГБОУ ВО «Московский авиационный институт (национальный исследовательский университет)» по адресу: 121552, г. Москва, ул. Оршанская, д. 3, ауд. 307Б. Отзывы на автореферат в двух экземплярах, заверенные печатью организации, просим направлять по адресу: 125993, г. Москва, Волоколамское шоссе, д. 4, А-80, ГСП-3, МАИ, ученому секретарю диссертационного совета Скворцовой Светлане Владимировне и по электронной почте skvortsovasv@mai.ru.

С диссертацией можно ознакомиться в библиотеке Университета и на сайте: https://mai.ru/upload/iblock/012/9nu7hgvayqx6ix5hlsr6rn3n93vosrqy/Dissertatsiya\_ Prokopenko.pdf

Автореферат разослан «	<b>&gt;&gt;</b>	2025 г.
		-

Ученый секретарь диссертационного Совета

Chys

Скворцова С.В.

#### ОБЩАЯ ХАРАКТЕРИСТИКА РАБОТЫ

### Актуальность работы

Сплавы системы Al-Cu-Li благодаря более высоким показателям удельной прочности и жесткости могут заменить традиционные алюминиевые сплавы в авиации, поскольку способны существенно снизить вес планера: каждый 1% (мас.) лития снижает плотность р сплава на 3% и увеличивает модуль Юнга Е на 5%. Однако при содержании лития в 2% (мас.) и более отмечены высокая анизотропия механических свойств, снижение ударной вязкости вследствие термической нестабильности. Это явилось стимулом для разработки сплавов Al-Cu-Li 3-го поколения. Оптимальные свойства конструкции – высокие удельные показатели прочности, жесткости и сопротивления изгибу – обеспечиваются при содержании лития 1–1,5% (мас.), несмотря на некоторое повышение плотности сплава (за счет большего содержания меди). Хотя сплавы с пониженным содержанием лития обладают более низкой анизотропией механических свойств, однако их анизотропия все равно остается более высокой по сравнению с большинством алюминиевых сплавов и создает проблемы при операциях глубокой вытяжки листовых полуфабрикатов.

Одним из важнейших достоинств Al-Cu-Li сплавов по сравнению со всеми остальными алюминиевыми сплавами является самая высокая удельная жесткость ( $E/\rho$ ). Этот показатель исключительно важен для нижней обшивки крыльев, лонжеронов, ребер и каркаса, а удельное сопротивление изгибу  $E^{1/3}/\rho$  важно для верхней обшивки крыла и фюзеляжа. Высокие упругие свойства сплавов с литием связывают с большим количеством интерметаллидов, в основном это  $\delta$ '-фаза (Al<sub>3</sub>Li) и  $T_1$ -фаза (Al<sub>2</sub>CuLi). Известно, что высокие прочностные характеристики в основном обеспечивает  $T_1$ -фаза, поэтому одним из важнейших критериев разработки высокопрочных сплавов является высокое отношение Cu/Li, которое обеспечивает доминирование  $T_1$ -фазы. Однако до сих пор не оценен вклад каждой из фаз в уникально высокий модуль упругости Al-Cu-Li сплавов, что не позволяет прогнозировать упругие свойства новых сплавов и реализовывать целенаправленный поиск их составов, обеспечивающих максимальный уровень их упругих свойств.

Таким образом, выявление закономерностей формирования кристаллографической текстуры, количественного фазового состава и анизотропии упругих и механических свойств сплавов системы Al–Cu–Li для повышения надежности их применения в авиационной технике несомненно

является актуальной задачей.

**Целью работы** являлось совершенствование методики количественных исследований и выявление закономерностей влияния кристаллографической текстуры и фазового состава на анизотропию упругих и механических свойств сплавов системы Al–Cu–Li для повышения надежности их применения в изделиях авиационной техники.

**Для достижения указанной цели** в работе необходимо было решить следующие основные задачи:

- 1. Разработать методику оценки количественного соотношения интерметаллидных фаз в Al-Cu-Li листовых полуфабрикатов с учетом неоднородности распределения фаз по ориентировкам и по сечению листа.
- 2. Определить механические свойства на растяжение ( $\sigma_{0,2}$ ,  $\sigma_B$ ,  $\delta$ ) и модули Юнга (E) на образцах, вырезанных в трех направлениях в плоскости листа: направлении прокатки (НП), поперечном прокатке направлении (ПН) и под углом  $45^{\circ}$  к НП.
- 3. На сборных образцах определить количественные обратные полюсные фигуры (ОП $\Phi$ ) и периоды решетки  $\alpha$ -твердого раствора для сечений, нормальных к НП, ПН и 45° к НП.
- 4. На основе сопоставления расчетных характеристик анизотропии с помощью факторов Закса и экспериментальной анизотропии определить вклад в анизотропию механических свойств текстурного фактора.
- 5. На основе аддитивного вклада в величины модулей Юнга сплавов от интерметаллидных фаз и твердого раствора с учетом их количественного соотношения оценить модули Юнга  $\delta$ '- и  $T_1$ -фаз.

Научная новизна полученных результатов заключается в следующем:

- 1. С помощью методики количественного фазового анализа установлено, что усредненная по трем направлениям в листовом полуфабрикате сплавов системы Al–Cu–Li величина модуля Юнга пропорциональна суммарному количеству интерметаллидов  $\delta$ ' (Al<sub>3</sub>Li) и  $T_1$ (Al<sub>2</sub>CuLi), при этом основной вклад дает  $\delta$ '-фаза.
- 2. Впервые определены значения модуля Юнга интерметаллидов в сплавах системы Al-Cu-Li на основе количественного фазового анализа, экспериментально определенных модулей Юнга и правила аддитивности. Показано, что уникально высокие значения модуля Юнга сплавов системы Al-Cu-Li обусловлены более высоким количеством в них интерметаллидных фаз

- и их более высокими упругими свойствами ( $\sim$ 100 ГПа для  $\delta$ '-фазы и  $\sim$ 120 ГПа для  $T_1$ -фазы) по сравнению с  $\alpha$ -твердым раствором ( $\sim$ 70 ГПа).
- 3. Для сплавов системы Al-Cu-Li найдена количественная корреляция между отношением содержания легирующих элементов Cu и Li в атомных % и количеством интерметаллидных фаз, так для сплава 1441 с отношением Cu/Li=0,93 количество  $T_1$  и  $\delta'$  -фаз составляет, соответственно, 0,6 и 17,5%, а для сплава B-1469 с Cu/Li=3,45 количество фаз составляет 6,5 и 3,5%. Это позволяет прогнозировать фазовый состав разрабатываемых Al-Cu-Li сплавов.
- 4. Сопоставление величин ориентационных факторов Закса для  $\alpha$ -твердого раствора с экспериментом показало, что расчеты объясняют минимум прочности в 45°-ном направлении, но дают завышенные значения прочности для поперечного и заниженные для продольного направления. Показано, что эту разницу нельзя интерпретировать на основе влияния на анизотропию  $\delta$ '- и  $T_1$ -фаз, но можно объяснить с позиций закона Холла-Петча, поскольку для продольных образцов эффективный размер зерна существенно меньше, а прочность выше, чем для поперечных образцов.

**Теоретическая и практическая значимость** работы состоит в следующем:

- 1. Показано, что формирующаяся при прокатке сплавов системы Al-Cu-Li текстура типа «латуни» определяет анизотропию модуля Юнга всех четырех сплавов с максимальной величиной модуля Юнга в поперечном прокатке направлении, в котором расположено направление <111> ГЦК-решетки алюминия с максимальным модулем Юнга, а минимальное значение модуля Юнга соответствует 45° направлению, с которым совпадают кристаллографические направления с низкими и средними значениями модуля Юнга.
- 2. В отличие от прочностных характеристик, которые существенно выше для  $T_1$ -фазы величины модулей Юнга  $\delta$ '- и  $T_1$ -фаз близки и составляют 93-123 ГПа для  $\delta$ '-фазы и 115-123 ГПа для  $T_1$ -фазы. Эти величины могут быть использованы при выборе составов сплавов и прогнозировании модулей Юнга разрабатываемых сплавов системы Al-Cu-Li со сбалансированными упругими и прочностными свойствами.
- 3. Исследование закономерностей анизотропии механических свойств листов из сплавов 1441, B-1461, B-1469 и B-1480 показало, что минимальные значения

пределов текучести и прочности и максимальные значения относительного удлинения получены в 45°-ном направлении. В сплаве В-1481 со слабо выраженной текстурой практически отсутствует анизотропия механических свойств.

4. Показано, что пределы текучести в НП и ПН сплава В-1480 (560 и 530 МПа, соответственно) значительно выше, чем для сплава В-1481 (480 и 480 МПа), однако минимальные показатели для обоих сплавов равны 470 МПа (в 45°-ном направлении). Этот результат демонстрирует необходимость учета текстурного фактора и анизотропии при оценке прочности изделия и необходимость испытаний листов сплавов Al-Cu-Li в 45°-ном направлении.

Апробация работы. Материалы диссертационной работы доложены на 6 конференциях: 49 Международной молодежной конференции «Гагаринские чтения-2023», г. Москва, 50-й Международной молодежной конференции «Гагаринские чтения-2024», г. Москва, XIX Международной научно-технической конференции «Быстрозакалённые материалы и покрытия», г. Москва, 2022, 22-ой Международной конференции «Авиация и космонавтика», 2023, Москва, XIX Российской ежегодной конференции молодых научных сотрудников и аспирантов. «Физико-химия и технология неорганических материалов». 2022. Москва, 2-ой Международной конференции «Скоростной транспорт будущего: перспективы, проблемы, решения». 2023. Москва.

**Публикации.** По теме диссертации опубликовано 7 научных работ, из них 7 в изданиях, входящих в перечень ВАК, 3 из которых переведены в журналах, включенных в международные системы цитирования Scopus и Web of Science. Список основных публикаций приведен в конце автореферата.

Структура и объем диссертации. Диссертация состоит из введения, пяти глав, общих выводов, списка цитируемой литературы. Объем диссертации составляет 136 страниц, включая 62 рисунка, 41 таблицы и список литературы из 112 наименований.

### Основные положения, выносимые на защиту

- 1. Методика оценки количественного соотношения интерметаллидных фаз в Al-Cu-Li листовых полуфабрикатов с учетом неоднородности распределения фаз по ориентировкам и по сечению листа.
- 2. Оценка модулей упругости интерметаллидных  $\delta$ '- и  $T_1$ -фаз и прогнозирование модулей упругости сплавов Al-Cu-Li.
- 3. Закономерности влияния фазового состава и текстуры на анизотропию

упругих и механических свойств Al-Cu-Li сплавов.

4. Интерпретация анизотропии механических свойств сплавов Al-Cu-Li с помощью сопоставления рассчитанных из количественных текстурных данных величин ориентационных факторов Закса для α-твердого раствора с экспериментом.

### Основное содержание работы Глава 1. Текстура, фазовый состав и анизотропия механических свойств сплавов Al-Cu-Li

В главе представлен анализ литературы по теме работы, в обзоре рассмотрены основные проблемы применения сплавов Al-Li в современной авиакосмической отрасли. По сравнению с традиционными алюминиевыми сплавами, сплавы алюминий-литий обладают более высокой жесткостью, прочностью, трещиностойкостью и меньшей плотностью. Однако легирование литием снижает пластичность, формуемость и вязкость разрушения, а также анизотропию механических свойств, которую повышает кристаллографической текстурой. Очевидно, что особенности сплавов с литием, в том числе повышенная анизотропия свойств, связаны с большим количеством интерметаллидных фаз, в основном δ'-фазы. Практически отсутствуют исследования анизотропии упругих свойств сплавов с литием, а также количественного вклада интерметаллидных фаз в уникально высокий модуль Юнга этих сплавов, который обусловлен исключительно этими фазами.

#### Глава 2. Объекты и методы исследования

В главе проводились исследования листов из сплавов 1441, В-1461, В-1469, В-1480, В-1481 (табл.1) толщиной 1,4-2,7 мм, полученные теплой прокаткой в ОАО «КУМЗ». Их последующая термомеханическая обработка включала закалку с охлаждением в воде, правку и одно-, двух- или трехступенчатое искусственное старение. Механические свойства ( $\sigma_{0,2}$ ,  $\sigma_{B}$ ,  $\delta$ ) определяли в трех направлениях: долевом (НП), поперечном (ПН) и под углом 45° к НП. Испытание образцов из Al–Li-сплавов проводилось на испытательной машине Zwick/Roell КАРРА 50DS (Германия), оборудованной датчиком силы классом точности 0,5 и датчиком измерения деформации makroXtens (ZwickRoell, Германия) с расчетной длиной 50 мм.

Табл. 1. Содержание основных легирующих элементов в исследуемых сплавах, % (мас).

Сплав	Cu	Li	Mg	Ag
1441	1,64	1,76	0,80	-
B-1461	2,5	1,55	0,35	-
B-1469	3,69	1,07	0,32	-
B-1480	3,619	1,115	0,39	0,226
B-1481	3,24	1,05	0,32	0,254

Коэффициент плоскостной анизотропии (КПА) произвольного свойства (IPA – in-plain anisotropy index) определяли из уравнения:

$$K\Pi A = \frac{2X_{\text{max}} - X_{\text{m}} - X_{\text{min}}}{2X_{\text{max}}} 100\%$$
 (1)

где  $X_{\text{max}}$ ,  $X_{\text{m}}$ ,  $X_{\text{min}}$  — максимальное, среднее и минимальное значения свойства

Рентгеноструктурные исследования проводили на дифрактометре ДРОН-4,0. Текстуру определяли съемкой обратных полюсных фигур (ОПФ) для  $\alpha$ -твердого раствора, которые получали съемкой сборных образцов с плоскостью съемки, нормальной долевому, поперечному и 45° направлениям в плоскости листа в  $CuK_{\alpha}$  излучении с использованием нормированных значений полюсных плотностей:

Для интерпретации анизотропии прочностных свойств использовали расчеты факторов Закса, которые являются обратными значениями факторов Шмида для системы октаэдрического скольжения {111}<110>.

$$M_{cp}^{x} = \frac{1}{n} \sum_{hkl}^{n} P_{hkl}^{x} M_{hkl}$$
 (2)

Где: n — число (hkl) рефлексов (n=7); x=HП, 45 и ПН;  $P_{hkl}^x$  — полюсная плотность рефлекса (hkl) на ОПФ для направлений x=HП, 45°, ПН;  $M_{hkl}=1/\Phi_{hkl}$  ;  $\Phi_{hkl}$  — фактор Шмида для скольжения по системе {111}<110>.

Количественный фазовый анализ сплавов выполняли в соответствии с методикой, основанной на измерении периода решетки α-твердого раствора и оценке состава твердого раствора на основе закона Вегарда и уравнений баланса

химического и фазового состава.

$$W_{\alpha} = \frac{(X_{\text{Li}}^{\delta'} - X_{\text{Li}}^{T_{1}})(X_{\text{Al}}^{0}X_{\text{Cu}}^{T_{1}} - X_{\text{Al}}^{T_{1}}X_{\text{Cu}}^{0}) - X_{\text{Al}}^{\delta'}X_{\text{Cu}}^{T_{1}}(X_{\text{Li}}^{0} - X_{\text{Li}}^{T_{1}})}{(X_{\text{Li}}^{\delta'} - X_{\text{Li}}^{T_{1}})(100X_{\text{Cu}}^{T_{1}} - X_{\text{Cu}}^{\alpha}X_{\text{Cu}}^{T_{1}} - X_{\text{Cu}}^{T_{1}}X_{\text{Li}}^{\alpha} - X_{\text{Al}}^{T_{1}}X_{\text{Cu}}^{\alpha}) - X_{\text{Al}}^{\delta'}X_{\text{Cu}}^{T_{1}}(X_{\text{Li}}^{\alpha} - X_{\text{Li}}^{T_{1}})}100,$$

$$W_{T_{1}} = \frac{100X_{\text{Cu}}^{0} - X_{\text{Cu}}^{\alpha}W_{\alpha}}{X_{\text{Cu}}^{T_{1}}},$$

$$W_{\delta'} = 100 - W_{\alpha} - W_{T_{1}},$$

$$(3)$$

где  $X_{\text{A}_{1}}^{0}$ ,  $X_{\text{Cu}}^{0}$ ,  $X_{\text{L}_{1}}^{0}$ —содержания алюминия, меди и лития в сплаве (массовые доли);  $W_{\alpha}$ ,  $W_{\text{T}_{1}}$ ,  $W_{\delta'}$ — содержания фаз  $\alpha$ ,  $T_{1}$ ,  $\delta'$ , % (мас.);  $X_{\text{Li}}^{\alpha}$ ,  $X_{\text{Al}}^{\text{T}_{1}}$ ,  $X_{\text{Li}}^{\text{T}_{1}}$ ,  $X_{\text{Cu}}^{\text{T}_{1}}$ ,  $X_{\text{Al}}^{\delta'}$ ,  $X_{\text{Li}}^{\delta'}$ , — содержания алюминия, меди и лития в фазах  $\alpha$ ,  $T_{1}$ ,  $\delta'$  (массовые доли).

Значения параметров  $X_{\rm Al}^{\rm T_l}, X_{\rm Li}^{\rm T_l}, X_{\rm Cu}^{\rm T_l}, X_{\rm Al}^{\delta'}, X_{\rm Li}^{\delta'}$  рассчитывали из стехиометрии фаз T<sub>1</sub>(Al<sub>2</sub>CuLi)и  $\delta'$  (Al<sub>3</sub>Li). Величину  $X_{\rm Cu}^{\alpha}$  оценивали с помощью закона Вегарда.

### Глава 3. Исследование влияния фазового состава и текстуры на упругие свойства сплавов 1441, В-1461 и В-1469

В этой части работы на основании количественного фазового анализа и экспериментальных величин модулей Юнга сплавов оценивали количество интерметаллидных  $\delta$ ' и  $T_1$ -фаз и определяли значения модулей Юнга этих интерметаллидов.

Идентификация текстуры с помощью съемки наборных образцов с плоскостью съемки, нормальной плоскости листа, позволяет получить усредненные по сечению листа ОПФ. Все сплавы характеризуются текстурой типа «латуни» {110}<112>. Текстура {110}<112> наиболее выражена у сплавов 1441 и В-1461 (рис.1а и 1б) и менее выражена у сплава В-1469 (рис. 1в).

Анизотропия модуля Юнга сплавов имеет сходный характер (рис.2), что естественно, поскольку текстуру листов всех трех сплавов одинаковая – текстура латуни {110}<112>. Значения модуля Юнга алюминия в различных кристаллографических направлениях приведены в табл.2.

Табл. 2. Модуля Юнга алюминия в различных кристаллографических направлениях.

hkl	<111>	<200>	<220>	<311>	<331>	<420>	<422>	Средн.
$E_{hkl}$ , ГПа	76,1	63,7	72,6	69,0	73,6	69,1	72,6	71,0

С долевым направлением листа совпадает кристаллографическое направление <112> со средней величиной модуля Юнга (72,6 ГПа). В 45° направлении модули Юнга минимальны, поскольку с ним совпадают кристаллографические с низкими и средними значениями модуля Юнга (63,7-72,6 ГПа). В поперечным направлении модули Юнга максимальны, поскольку оно совпадает с направлением <111> с максимальным модулем Юнга (76,1 ГПа). На рис.2 приведены также рассчитанные по соотношению (4) величины модуля Юнга в трех направлениях листов алюминия с текстурой, соответствующей сплаву 1441.

$$E_{\alpha}^{H\Pi (45^{\circ}, \Pi H)} = \frac{1}{n} \sum_{i=1}^{n} P_{i}^{H\Pi (45^{\circ}, \Pi H)} E_{i} , \qquad (4)$$

где i=hkl; n – число рефлексов на ОПФ (n=7).

Анизотропия модуля Юнга алюминия аналогична сплаву 1441, но абсолютные значения существенно ниже, чем у сплавов. Эта разница обусловлена наличием интерметаллидных фаз, модули Юнга которых превышают модуль Юнга алюминия.

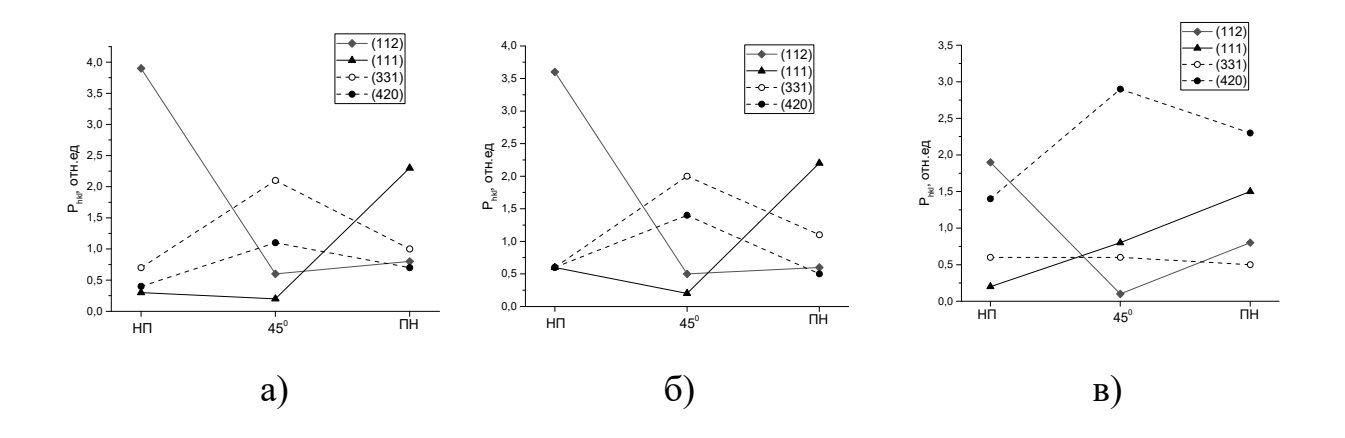


Рис. 1. Полюсные плотности  $P_{hkl}$  рефлексов ОПФ для НП, 45° и ПН направлений листов сплавов 1441(а), B-1461(б) и B-1469 (в).

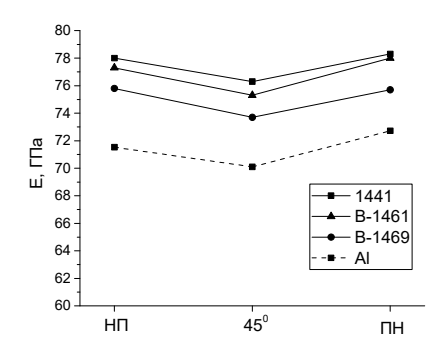


Рис. 2. Зависимости модуля Юнга от направления в листе для сплавов 1441, B-1461, B-1469 и Al с текстурой сплава 1441.

Количество интерметаллидных фаз  $T_1$  (Al<sub>2</sub>CuLi) и  $\delta'$  (Al<sub>3</sub>Li) определяли с помощью уравнений (3), решения которых для каждого из сплавов можно представить в виде зависимостей содержания фаз  $T_1$ и  $\delta'$  от периода решетки (рис. 3). На рис. 4 приведена зависимость суммарного количества интерметаллидных фаз в сплавах с их модулем Юнга. Видно, что с увеличением суммарного количества интерметаллидов модуль Юнга возрастает.

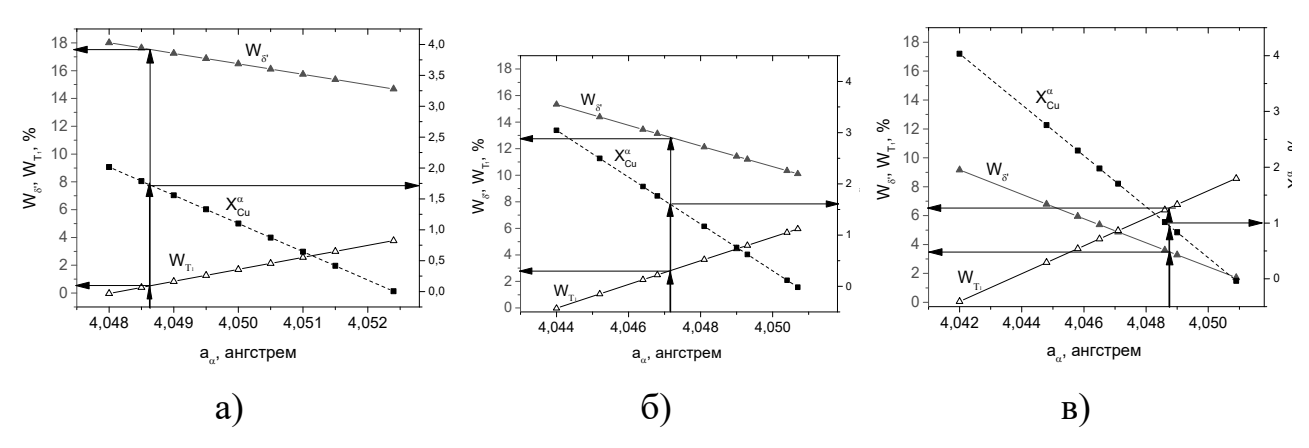


Рис.3. Зависимости количества фаз  $T_1$  и  $\delta'$  и меди в  $\alpha$ -твердом растворе алюминия от периода решетки твердого раствора для сплавов 1441 (а), B-1461 (б), B-1469 (в).

Поскольку количество интерметаллидных фаз в каждом из сплавов известно, можно, исходя из разницы значений модулей Юнга, полученных экспериментально для сплавов, и рассчитанных для α-твердого раствора (Рис.2), оценить модули Юнга интерметаллидов. Расчеты осуществляли, исходя из правила аддитивности и допущения, что интерметаллиды изотропны по отношению к упругим свойствам:

$$E_{\text{cm}}^{\text{II}(45^{\circ}, \Pi)} = \left( \left( \frac{1}{n} \sum_{i=1}^{n} P_{i}^{\text{II}(45^{\circ}, \Pi)} E_{i}^{\alpha} \right) W_{\alpha} + E_{\delta} W_{\delta} + E_{T_{1}} W_{T_{1}} \right) / 100.$$
 (5)

Результаты расчетов приведены на рис. 5. Модуль Юнга  $\delta$ '-фазы для исследуемых сплавов варьируется от 93 до 104 ГПа, а для  $T_1$ -фазы от 115 до 123 ГПа, т.е. упругие свойства этих фаз близки с учетом того, что прочность  $T_1$ -фазы в разы превосходит  $\delta$ '-фазу.

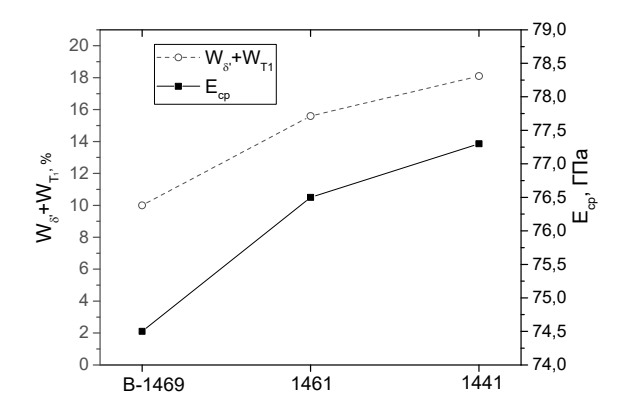


Рис.4. Изменение среднего значения модуля Юнга с суммарным содержанием интерметаллидов  $\delta$ ' и  $T_1$  в исследуемых сплавах Al-Cu-Li.

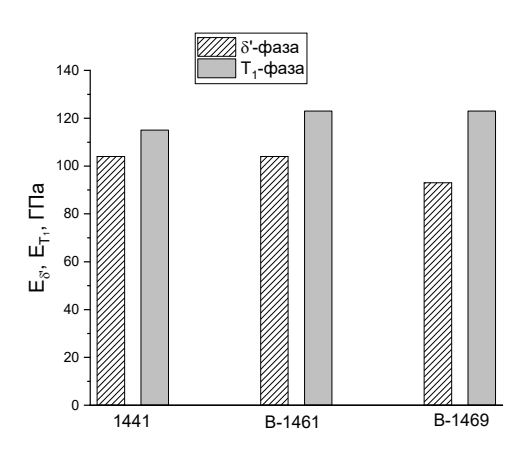


Рис.5. Величины модулей Юнга для интерметаллидных δ' и  $T_1$ -фаз ( $E_{\delta'}, E_{T_1}$ ) сплавов 1441, B-1461 и B-1469.

Рассчитанные значения модулей упругости для сплавов системы Al-Cu-Li дают возможность прогнозировать величину модуля Юнга разрабатываемых

сплавов этой системы легирования. Тогда используя соотношение аддитивности можно определить величину модуля Юнга сплава следующим соотношением):

$$E_{\text{сплава}} = E_{\alpha} W_{\alpha} + E_{\delta'} W_{\delta'} + E_{T1} W_{T1} \qquad (6)$$

Где:  $E_{\alpha}$ -модуль Юнга Al (71 ГПа табл.3.2);  $E_{\delta'}$  и  $E_{T1}$  – средние по трем сплавам модули Юнга  $\delta'$ - и  $T_1$ -фаз (100 и 120 ГПа соответственно).

На рис. 6 приведены зависимости от периода решетки  $\alpha$ -твердого раствора количества  $\delta$ '- и  $T_1$ -фаз и содержания меди в  $\alpha$ -твердом растворе, вычисленные по (3) для сплава Al-4Cu-1,5Li, а также прогнозируемая величина модуля Юнга по уравнению (6) для различных соотношения фаз для этого сплава.

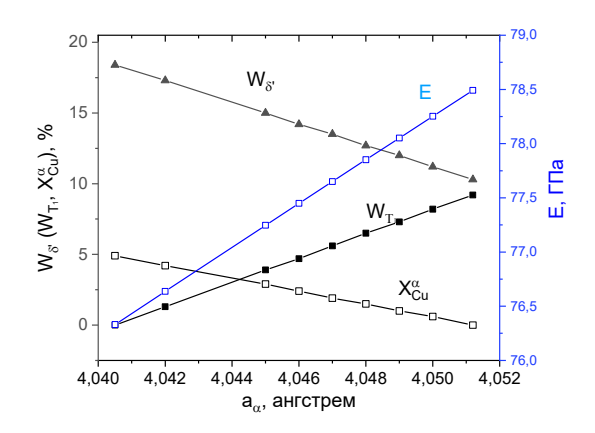


Рис. 6. Прогнозируемые величины модуля Юнга для сплава Al-4Cu-1,5Li.

### Глава 4.Исследование текстуры и анизотропии механических свойств сплавов системы Al-Cu-Li 1441, B-1461 и B-1469

В этой главе приведены результаты исследования влияния кристаллографической текстуры и фазового состава на анизотропию механических свойств на растяжение ( $\sigma_{0,2}$ ,  $\sigma_B$ ,  $\delta$ ) листов из сплавов 1441, B-1461 и B-1469 системы Al–Cu–Li.

На рис. 7 приведены механические свойства листов сплавов 1441, В-1461 и В-1469 в НП, ПН и 45°-ном направлениях и количественные характеристики анизотропии этих листов в виде коэффициента плоскостной анизотропии (КПА). Видно, что из сплавов наибольшей анизотропией обладает сплав 1441, а минимальной сплав В-1469. Для расчета анизотропии прочностных свойств использовали факторы Закса, которые являются обратными значениями факторов Шмида. для системы октаэдрического скольжения {111}<10> (рис.8).

Для всех сплавов расчетный минимум прочностных свойств совпадает с экспериментальным ( $45^{\circ}$ -направление), но при этом расчет завышает прочность в ПН и занижает в НП.

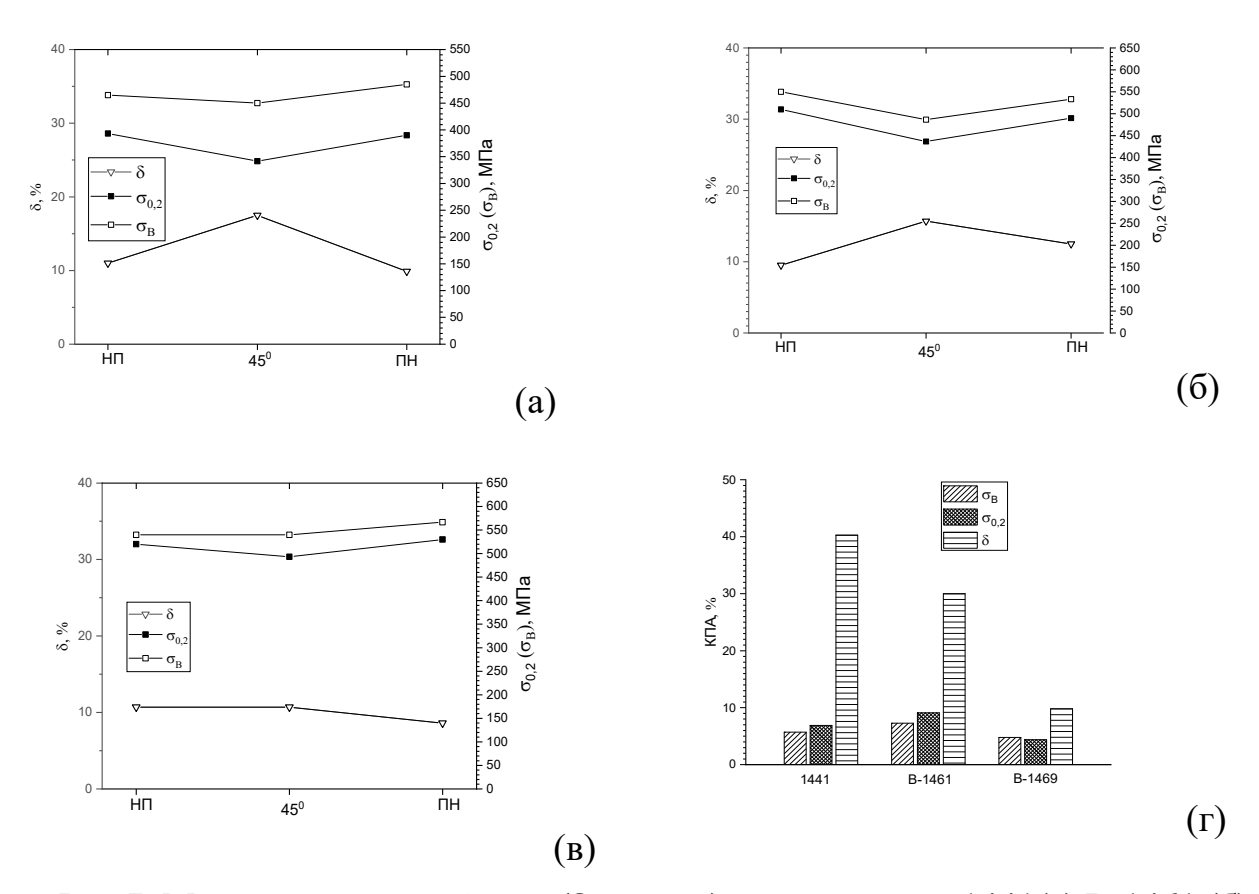


Рис.7. Механические свойства ( $\delta$ ,  $\sigma_{0,2}$ ,  $\sigma_{B}$ ) листов сплава 1441(a) B-1461 (б) и B-1469 (в) и коэффициенты плоскостной анизотропии (КПА) для этих сплавов.

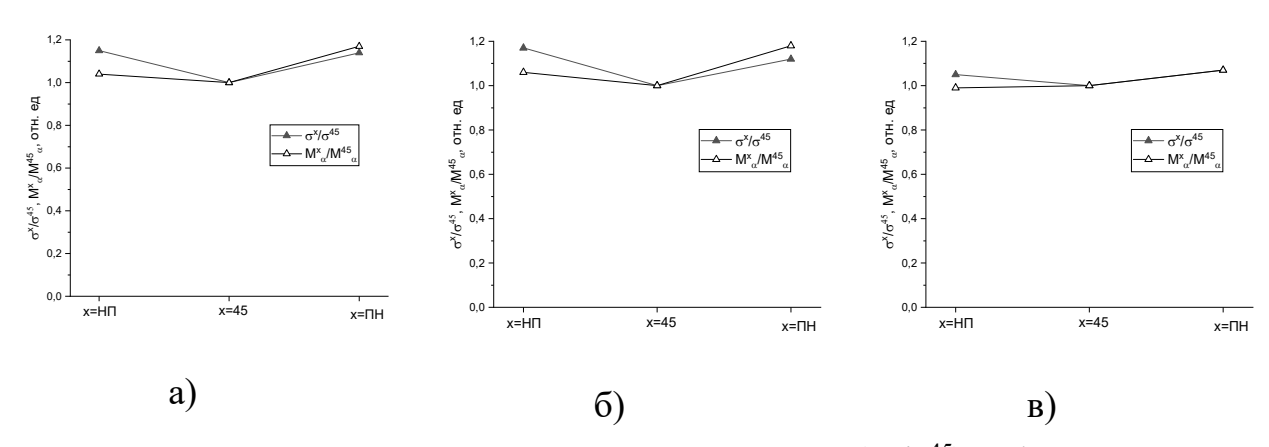


Рис.8. Значения отношений пределов текучести ( $\sigma^{x}/\sigma^{45}$ ) и факторов Закса для  $\alpha$ -фазы ( $M^{x}{}_{\alpha}/M^{45}{}_{\alpha}$ )в долевом (x=HП) и поперечном (x=ПН) направлениях к пределу текучести и фактору Закса в 45°-направлении (x=45°) для сплавов1441 (а), B-1461 (б) и B-1469 (в).

Для объяснения отличия расчетных и экспериментальных значений анизотропии необходимо оценить возможное влияние на анизотропию сплава δ'и  $T_1$ -фаз. Когерентная упорядоченная по типу  $L1_2$   $\delta'$ -фаза имеет аналогичную твердому раствору текстуру, но при этом скольжение по системе {001}<110> может быть предпочтительнее скольжения по {111}<110> при высоких значениях энергии дефекта упаковки (ЭДУ), характерных для алюминиевых сплавов. Результаты расчета для сплава 1441 показывают, что факторы Закса равны 2,527, 3,103 и 2,503 для направлений НП, 45° и ПН соответственно. Эти результаты показывают, что скольжение по этой системе дает максимальную 45°-направления, относительную прочность ДЛЯ что противоречит экспериментальным данным.

 $\mathbf{C}$ другой попытка объяснить стороны, разницу расчетных И экспериментальных значений анизотропии прочностных свойств с помощью влияния Т<sub>1</sub>-фазы противоречит тому факту, что сплав В-1469, который содержит больше всего этой фазы, показал минимальную разницу расчетных и экспериментальных значений анизотропии прочностных свойств. В тоже время сплав 1441, в котором практически отсутствует Т<sub>1</sub>-фаза показал значительную разницу этих характеристик. Однако эту разницу можно объяснить с позиций закона Холла-Петча, согласно которому прочность обратно пропорциональна размеру зерна. Поскольку для продольных образцов эффективный размер зерна существенно меньше, чем для поперечных, то из-за эффекта вытянутости зерен в направлении прокатки продольные образцы получают дополнительное упрочнение.

Отметим, что анизотропия пластичности значительно превосходит анизотропию прочностных и упругих свойств (рис.7г). Причиной значительно более высокой пластичности в 45° направлении является тот факт, что для текстуры «латуни» {011}<112> в направлениях НП и ПН расположены моноориентировки, соответственно <112>и <111>, которые препятствуют однородной деформации. В отличие от этого в 45°-ном направлении присутствуют несколько ориентировок, которые способствуют однородной деформации и повышенной пластичности.

## Глава 5.Исследование влияния фазового состава и текстуры на анизотропию упругих и механических свойств сплавов системы Al-Cu-Li-Ag B-1480 и B-1481

В этой главе приведены результаты исследования анизотропии упругих и механических свойств новых сплавов системы Al-Cu-Li, B-1480 и B-1481, легированных Ag (табл.1). На рис.9 приведены значения полюсных плотностей различных рефлексов в направлениях НП, 45° ПН для сплавов B-1480 и B-1481 и величины модулей Юнга, измеренные в тех же направлениях 1,4 мм листов сплавов B-1480 и B-1481.

Листы сплава В-1480 характеризуются текстурой {110}<112> (рис.9а), для которой характерна максимальная величина модуля Юнга в ПН и минимальная величина в 45° направлении (рис.9в). Сплав В-1481 характеризуется слабовыраженной многокомпонентной текстурой (рис. 9б), чему соответствует отсутствие анизотропии упругих модулей для листов этого сплава (рис.9г). Рассчитывали также величины модуля Юнга для алюминия с учетом текстуры соответствующей листам сплавов В-1480 и В-1481 (пунктирные линии на рис.9в и 9г, соответственно).

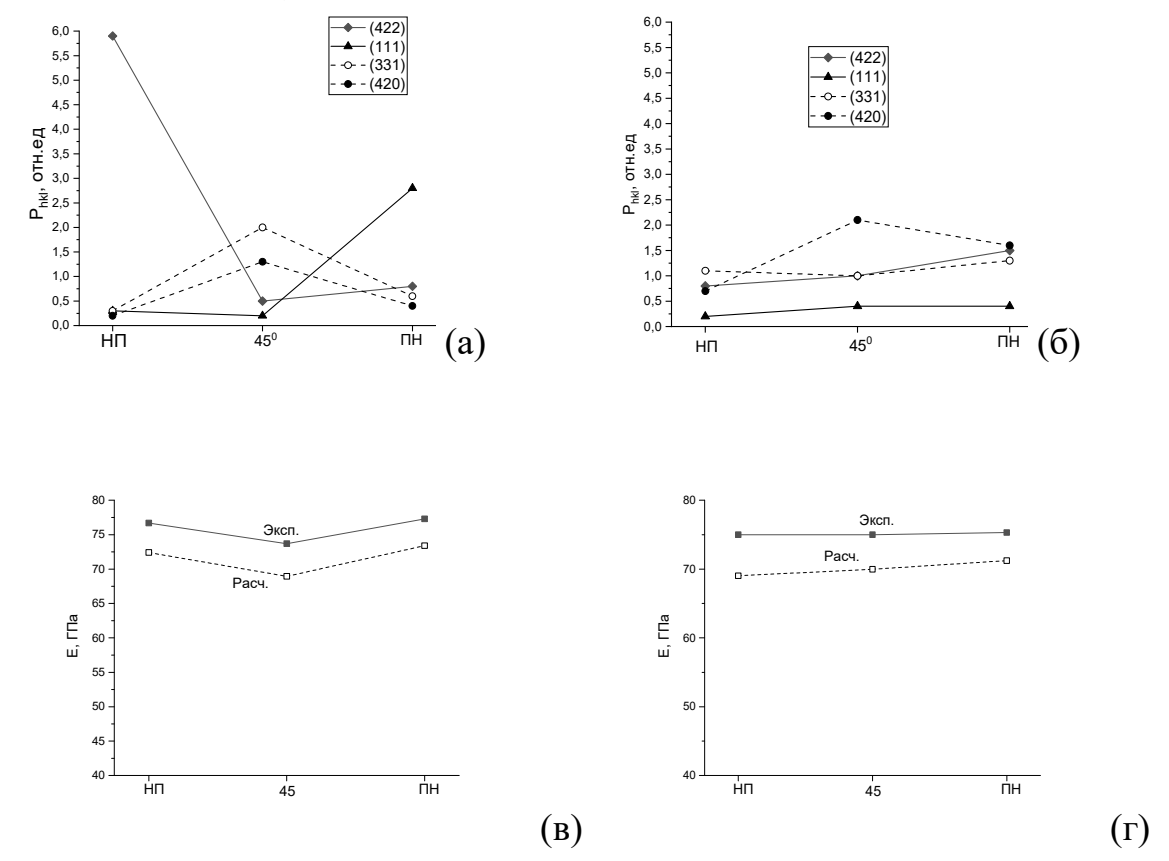


Рис.9. Полюсные плотности рефлексов (422), (111), (331), (420) на ОПФ для НП, 45° и ПН и величины модулей Юнга, измеренные в тех же направлениях 1,4 мм листов сплавов B-1480 (а, в) и B-1481 (б, г).

Расчетные значения модулей Юнга существенно ниже, экспериментальные значения для сплавов (сплошные линии на рис.9в и 9г, соответственно). Эта разница обусловлена наличием интерметаллидных фаз, величины модулей Юнга которых превышают модули Юнга α-твердого раствора алюминия. Количество интерметаллидных фаз в сплавах определяли с помощью соотношений **(3)**. Ha рис.10 приведены зависимости количества интерметаллидных  $T_1$  и  $\delta'$ -фаз от измеренного периода решетки твердого раствора для каждого из 2 сплавов. Поскольку нам известны количества интерметаллидных фаз в каждом из сплавов можно исходя из разницы экспериментальных модулей Юнга для сплавов и рассчитанных значений для атвердого раствора оценить величины модулей Юнга интерметаллидов. Расчеты осуществляли исходя из правила аддитивности по соотношению (5).

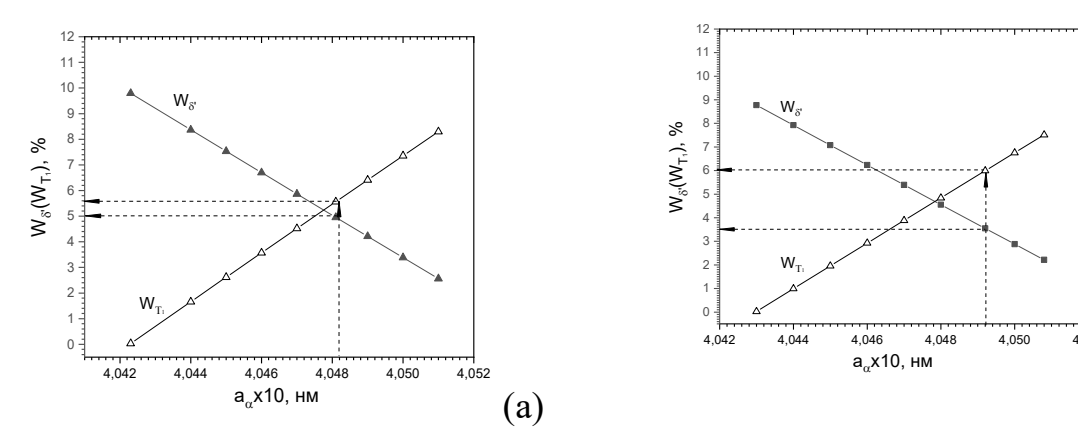


Рис.10. Зависимости количества  $T_1$  и δ'-фаз ( $W_{T_1}$ и  $W_{\delta'}$ ) в сплавах B-1480 (а) и B-1481 (б).

Значения модулей Юнга для интерметаллидов ( $E_{\delta'}$ ,  $E_{T_1}$ ) находили с помощью минимизации разницы между экспериментальными и расчетными значениями модулей Юнга. Результаты расчетов приведены на рис.11. модули Юнга для  $\delta'$ - и  $T_1$ -фазы составляют 102 и 122 ГПа соответственно для сплава В-1480 и одинаковые значения 123 ГПа для обеих фаз в сплаве В-1481. Таким образом, в отличие от прочностных свойств, которые для  $T_1$ -фазы в разы превосходят  $\delta'$ -фазу, упругие свойства этих фаз близки.

На рис.12 сопоставлены прочностные свойства сплавов B-1480 и B-1481 в зависимости от направления в плоскости листа. На рис.12в приведены значения КПА, рассчитанные по соотношению (1), которые демонстрируют существенную разницу анизотропии механических свойств 1,4 мм листов

(ნ)

сплавов. Видно, что величины КПА для сплава В-1480 более, чем в 5 раз превышают эти величины для сплава В-1480. Эта разница обусловлена различием текстур листов сплавов (рис.9 а,б).

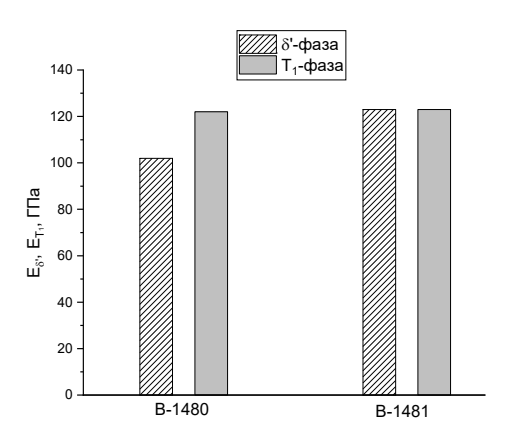


Рис.11. Величины модулей Юнга для интерметаллидных  $\delta$ '- и  $T_1$ -фаз  $(E_{\delta'}, E_{T_1})$  сплавов B-1480 и B-1481.

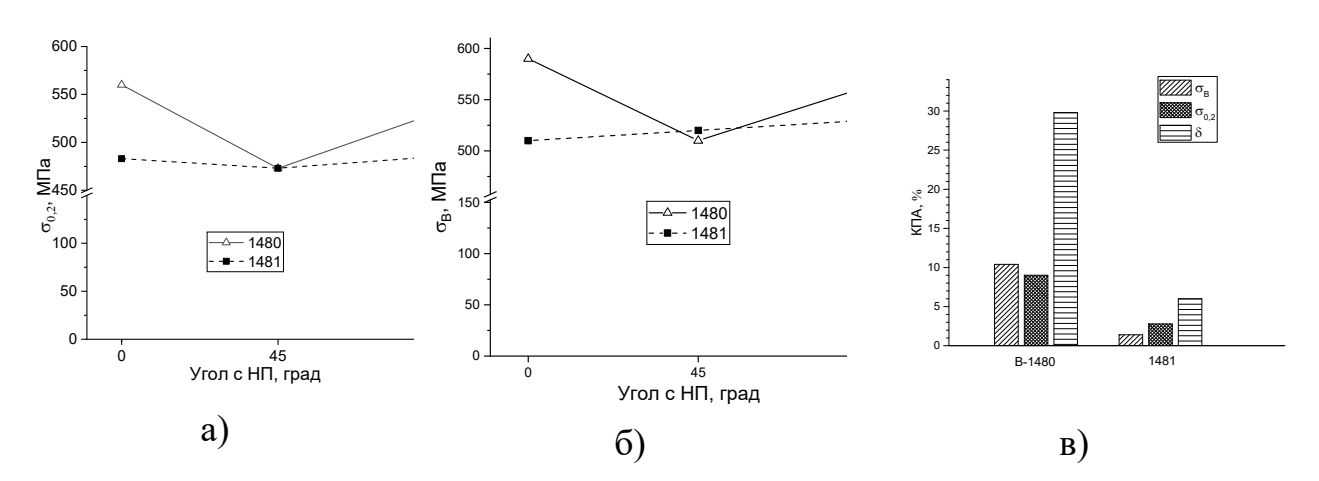


Рис.12. Величины пределов текучести (а) и прочности (б) и коэффициенты плоскостной анизотропии (в) сплавов B-1480 и B-1481.

Наиболее существенным является тот факт, что высокая анизотропия свойств в сплаве В-1480 приводит к значительному снижению минимальных прочностных свойств в 45° направлении, величину которых нельзя оценить из стандартной схемы испытаний, которая включает испытания долевых и/или поперечных образцов.

При испытании в НП значения пределов текучести и прочности для сплава В-1480 равны соответственно 560 и 590 МПА, а для сплава В-1481 480 и 510 МПа. При испытании в ПН значения пределов текучести и прочности для

сплава В-1480 равны соответственно 530 и 560 МПА, а для сплава В-1481 480 и 530 МПа. При этом минимальные значения пределов текучести и прочности этих сплавов одинаковы и равны 470 МПа и 510 МПа соответственно (рис.12).

На рис.13 приведены микроструктуры продольных сечений листов сплавов В-1480 и В-1481, которые свидетельствуют о том, что в листах сплава В-1481 в отличии от В-1480 произошла рекристаллизация, которая явилась причиной отсутствия анизотропии листов сплава В-1481. При этом, видна неоднородность рекристаллизованной микроструктуры по сечению листа, которой соответствует текстурная неоднородность, в результате чего усредненная по сечению листа ориентировка кристаллитов близка к бестекстурному состоянию, что обуславливает изотропию упругих и прочностных свойств листов сплава В-1481.

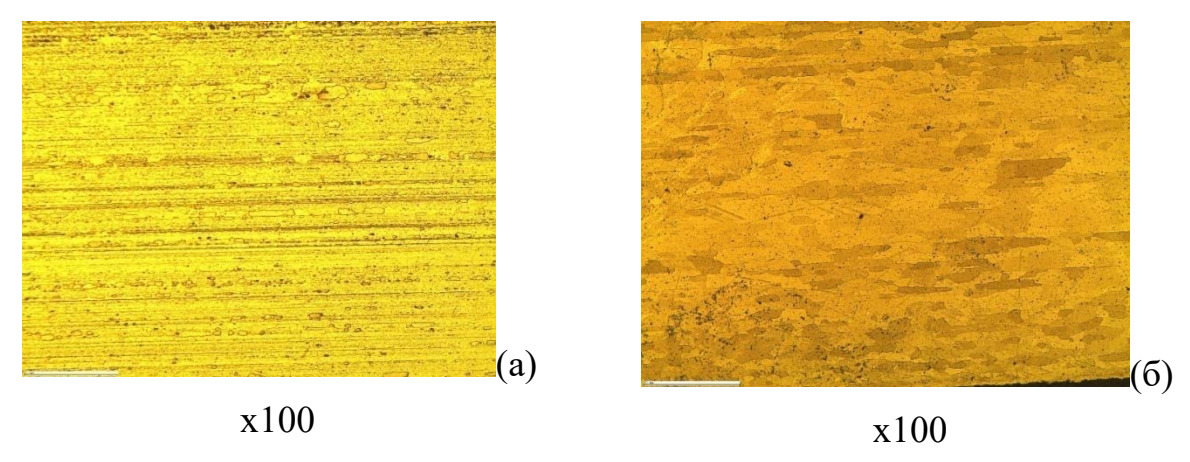


Рис.13. Микроструктура продольного сечения сплавов В-1480 (а) и В-1481 (б).

#### Основные выводы

- 1. Исследовали текстуру, фазовый состав и анизотропию упругих и механических свойств в листах сплавов системы Al-Cu-Li 1441, B-1461 и B-1469 и сплавов B-1480 и B-1481 системы Al-Cu-Li-Ag.
- 2. В сплавах 1441, В-1461, В-1469 и В-1480 формируется текстура {110}<112> типа латуни с расположением направления <111> в поперечном прокатке направлении.
- 3. Текстура латуни определяет анизотропию модуля Юнга всех четырех сплавов с максимальной величиной модуля Юнга в поперечном прокатке направлении, в котором расположено направление <111> ГЦК-решетки алюминия с максимальным модулем Юнга, а минимальное значение модуля Юнга соответствует 45° направлению, с которым совпадают кристаллографические направления с низкими и средними значениями модуля Юнга.

- 4. В листах сплава В-1481 формируется слабовыраженная многокомпонентная текстура, при этом величина модуля Юнга в этом листе практически не отличается в долевом, поперечном и 45- градусном направлениях листа.
- 5. С помощью методики количественного фазового анализа установлено, что усредненная по трем направлениям в листе величина модуля Юнга пропорциональна суммарному количеству интерметаллидов  $\delta'$  (Al<sub>3</sub>Li) и  $T_1(Al_2CuLi)$ , при этом увеличение количества интерметаллидов происходит в основном за счет  $\delta'$ -фазы.
- 6. Впервые определены значения модуля Юнга интерметаллидов δ' (Al<sub>3</sub>Li) и T<sub>1</sub>(Al<sub>2</sub>CuLi) в сплавах системы Al-Cu-Li. В отличие от прочностных характеристик, которые существенно выше для Т<sub>1</sub>-фазы величины модулей Юнга δ'- и Т<sub>1</sub>-фаз близки и составляют 93–123 ГПа для δ'-фазы и 115-123 ГПа для Т<sub>1</sub>-фазы могут быть использованы для прогнозирования модулей Юнга разрабатываемых сплавов системы Al-Cu-Li со сбалансированными упругими и прочностными свойствами.
- 7. Исследование закономерностей анизотропии механических свойств листов сплавов с текстурой «латуни» (1441, B-1461, B-1469 и B-1480) показало, что минимальные значения пределов текучести и прочности и максимальные значения относительного удлинения получены в 45°-ном направлении. В сплаве B-1481 со слабо выраженной текстурой практически отсутствует анизотропия механических свойств.
- 8. Сопоставление расчетных величин факторов Закса с экспериментом показало, что эти расчеты объясняют минимум прочности в 45°-ном направлении, но дают завышенные значения прочности для поперечного и заниженные для продольного направлений.
- 9. Показано, что разницу с экспериментом нельзя интерпретировать на основе влияния упорядоченной по типу L1<sub>2</sub> δ'-фазы и T<sub>1</sub>-фазы с гексагональной решеткой, но можно объяснить с позиций закона Холла-Петча, согласно которому прочность обратно пропорциональна размеру зерна, поэтому для продольных образцов эффективный размер зерна существенно меньше, чем для поперечных, что дает более высокую прочность в этом направлении.
- 10.Пределы текучести в НП и ПН сплава В-1480 значительно выше, чем для сплава В-1481 (560 и 480 МПа в НП и 530 и 480 МПа в ПН), однако минимальные показатели для обоих сплавов одинаковые 470 МПа в 45°-ном направлении.

### Основные публикации по теме работы в рецензируемых журналах, рекомендуемых ВАК

- 1. Ашмарин, А.А. Исследование влияния фазового состава на термическое расширение и механические свойства Al-Cu-Li сплавов / Ашмарин А.А., Гордеева М.И., Бецофен С.Я., Лозован А.А., Ву Р., Александрова С.С., Селиванов А.А., Быкадоров А.Н. Прокопенко Д.А. // Известия вузов. Цветная металлургия. 2023. Т. 29 № 5. С. 57–68.
- 2. Гордеева М.И. Количественный фазовый анализ СТП соединений сплавов Al–Cu–Li и Al–Cu–Mg / Гордеева М.И.,Зуйко И.С., Бецофен С.Я., Миронов С.Ю., Wu. R., Максименко Е.И., Прокопенко Д.А. // Электрометаллургия. 2023. № 12. C. 25–35.
- Gordeeva M. I. Quantitative Phase Analysis of the FSW Joints of Al–Cu–Li and Al–Cu–Mg Alloys / Gordeeva M. I., Zuiko I. S., Betsofen S. Ya., Mironov S. Yu., Wu R., Maksimenko E. I., Prokopenko D. A. // Russian Metallurgy (Metally). Vol. 2024. № 6. P. 95–102.
- 3. Гордеева М.И. Исследование влияния фазового состава и текстуры на упругие свойства сплавов системы Al-Cu-Li / Гордеева М.И., Бецофен С.Я., Шалин А.И., Ву Р., Оглодков М.С., Оглодкова Ю.С., Максименко Е.И., Прокопенко Д.А. // Деформация и разрушение материалов. 2024. № 2. С. 2—10. Gordeeva M.I. Influence of the Phase Composition and Texture on the Elastic Properties of Al-Cu-Li Alloys / Gordeeva M.I., Betsofen S. Ya., Shalin A. V., Oglodkov M. S., Oglodkova Yu. S., Wu R., Maksimenko E. I., Prokopenko D. A. //Russian Metallurgy (Metally). Vol. 2024. № 4. Р. 167—174.
- Гордеева М.И. Исследование влияния легирующих элементов на фазовый состав и упругие свойства листов сплавов системы Al-Cu-Li B-1480 и B-1481 / Гордеева М.И., Бецофен С.Я., Шалин А.И., В.С. Моисеев, Ву Р., Оглодкова Ю.С., Прокопенко Д.А., Максименко Е.И. //Металлы. 2024. № 2 С. 29–35.
- 4. Гордеева М.И. Исследование текстуры и анизотропии механических свойств сплавов системы Al-Cu-Li 1441, B-1461 и B-1469 / Гордеева М.И., Бецофен С.Я., Шалин А.И., Ву Р., Оглодкова Ю.С., Максименко Е.И., Прокопенко Д.А. // Деформация и разрушение материалов // 2024. № 7. С. 32–40.
- Gordeeva M.I. Texture and Anisotropy of Mechanical Properties of Al-Cu-Li Alloys / Gordeeva M.I., Betsofen S.Ya., Shalin A.V., Wu. R., Oglodkova Yu.S.,

- Maksimenko E.I., Prokopenko D.A. //Russian Metallurgy (Metally). Vol. 2024. № 2. P. 1138–1144.
- 5. Гордеева М.И. Фазовый состав, текстура и анизотропия механических свойств сплавов В-1480 и В-1481 / Гордеева М.И., Бецофен С.Я., Шалин А.И., Ву Р., Оглодкова Ю.С., Максименко Е.И., Прокопенко Д.А. // Металлы. 2024. № 5. С. 18–27.
- 6. Бецофен С.Я. Влияние сверхбыстрого затвердевания на фазовый состав и модуль упругости сплавов 1441, В-1461, В-1469 системы Al-CuLi / Бецофен С.Я., Серов М.М., Шалин А.В., Сигалаев С.К., Ву Р., Максименко Е.И., Прокопенко Д.А. // Деформация и разрушение материалов. 2025. №. 2. С. 15–22.